

*А.В. Александров<sup>1</sup>, Л.В. Дородницын<sup>2</sup>, А.П. Дубень<sup>3</sup>,  
Д.Р. Колюхин<sup>4</sup>*

## **ГЕНЕРАЦИЯ НЕОДНОРОДНЫХ ТУРБУЛЕНТНЫХ ПОЛЕЙ СКОРОСТИ НА ОСНОВЕ МОДИФИЦИРОВАННОГО РАНДОМИЗИРОВАННОГО СПЕКТРАЛЬНОГО МЕТОДА\***

### **Введение**

В современных прикладных задачах, связанных с численным моделированием турбулентных течений газа и жидкости, невозможно обойтись осредненными моделями турбулентности (RANS). Всё чаще требуются вихреразрешающие подходы: прямое моделирование (DNS) либо методы крупных вихрей (Large Eddy Simulation: LES). Однако при высоких числах Рейнольдса применение в расчетах DNS и LES существенно ограничивается их высокой вычислительной стоимостью. Моделирование процесса возникновения и развития турбулентности всё еще затруднительно. В настоящее время наиболее актуальным представляется использование искусственно сгенерированных (синтетических) турбулентных полей, по своим физическим характеристикам близких к реальности. Данное направление начато в 1970 году Крайчнаном [1] и развивается уже несколько десятилетий.

Сегодня для расчета сложных течений целесообразно комбинировать осредненную модель во всей области с детальным LES-описанием в малой подобласти потока, где необходимо исследовать вихревую картину [2 – 4]. Это требует задания турбулентных полей в качестве условий на входной границе области LES, для чего обычно используются генераторы синтетических пульсаций.

Среди способов генерации искусственной турбулентности существуют: спектральный подход, строящий поле в виде суммы гармоник Фурье; метод численной фильтрации «белого шума» [5]; метод синтетических вихрей [6] и ряд других. Начиная с работы Крайчнана [1], наибольшее распространение получили спектральные методы [7 – 10].

Большинство предлагавшихся методов позволяют генерировать *изотропное* поле пульсаций скорости. Однако при задании условий

---

<sup>1</sup> ИПМ им. М.В. Келдыша РАН. e-mail: anatoly.v.alexandrov@gmail.com

<sup>2</sup> ВМК МГУ имени М.В. Ломоносова. e-mail: dorodn@cs.msu.su

<sup>3</sup> ИПМ им. М.В. Келдыша РАН. e-mail: aduben@keldysh.ru

<sup>4</sup> Институт нефтегазовой геологии и геофизики им. А.А.Трофимука. e-mail: KolyukhinDR@ipgg.sbras.ru

\* Результаты работы ИПМ им. М.В. Келдыша РАН получены в рамках госзадания. Часть работы выполнена по проекту ИНГГ СО РАН АААА-А16-116122810045-9.

интерфейса между зонами RANS и LES, где пограничные слои и другие неоднородности течения существенно нарушают изотропию турбулентности, необходимо уметь получать неоднородное и *анизотропное* поле.

Построение неоднородного турбулентного поля скорости в рамках спектрального подхода обычно начинается с генерации однородного изотропного поля. Затем в каждой точке физического пространства выполняется масштабирование полученного поля в соответствии с заданным полем тензора рейнольдсовых напряжений.

Принято считать [11], что синтетическое однородное по пространству турбулентное поле должно обладать рядом свойств, которые известны о реальном физическом объекте: бездивергентность поля пульсационных скоростей; воспроизведение статистических характеристик, в том числе энергетического спектра турбулентности. При этом нежелательно появление паразитных артефактов: нефизических акустических волн или ложной периодичности хаотических полей.

Спектральные методы генерации однородного изотропного поля используют ту или иную комбинацию детерминированных и стохастических параметров. Например, в [2, 3] задаются фиксированные волновые числа гармоник и их амплитуды: последние определяются плотностью энергетического спектра. Фазы гармоник и направления скоростей являются случайными.

Хотя исторически именно такие подходы получили наибольшее распространение, детерминированный выбор волновых чисел может привести к появлению ложной периодичности турбулентных полей или «проскакиванию» резонанса, важного в случае сложной геометрии задачи.

Авторы предпочли полностью стохастический подход к генерации полей турбулентных скоростей, базирующийся на рандомизированном спектральном методе [9, 12]. Согласно нему, волновые числа распределяются случайно, в соответствии с заданным энергетическим спектром. В [13] данный метод был численно реализован для трехмерной однородной изотропной турбулентности; демонстрировалось совпадение статистических характеристик полученного поля с физически ожидаемыми. К сожалению, данный генератор не допускает прямую адаптацию к случаю сильно неоднородного турбулентного поля. В настоящей работе предложена модификация рандомизированного спектрального метода, соединяющая технологии [3, 9] и позволяющая адаптировать данную методику к неоднородному случаю.

В первой части работы дается описание метода. Во второй анализируется применимость модифицированного метода для моделирования однородной изотропной турбулентности. В третьей части для валидации полученного метода в неоднородном случае приведен

выполненный с его использованием LES расчет развитого турбулентного течения в плоском канале [14].

### Модифицированный рандомизированный спектральный метод с переменными амплитудами гармоник

Рассмотрим формальное разложение поля скоростей на фоновую и пульсационную составляющие:

$$\mathbf{u}(\mathbf{x}, t) = \bar{\mathbf{u}}(\mathbf{x}) + \mathbf{u}'(\mathbf{x}, t).$$

Будем считать, что из расчета RANS известно осредненное поле скоростей  $\bar{\mathbf{u}}(\mathbf{x})$  и средние характеристики турбулентности: тензор напряжений Рейнольдса  $\mathbf{R}$ , кинетическая энергия турбулентности  $\sigma^2$  и скорость ее диссипации  $\varepsilon$ .

Нам необходимо смоделировать реализации случайного поля  $\mathbf{u}'(\mathbf{x}, t)$ . Для однородных случайных полей для этой цели часто используются методы, основанные на использовании спектра случайного поля [12]. В основе лежит теорема Бохнера-Хинчина, которая определяет связь между функцией ковариации  $C(\mathbf{r})$  и спектром  $F(\mathbf{k})$ :

$$C(\mathbf{r}) = \iiint_{-\infty}^{\infty} \exp\{i(\mathbf{k}, \mathbf{r})\} F(\mathbf{k}) d\mathbf{k}.$$

**Однородная изотропная турбулентность.** Задача состоит в том, чтобы построить однородное изотропное трехмерное турбулентное поле  $\mathbf{v}'(\mathbf{x}, t)$  в заданной пространственно-временной области, а затем из него получить нужное для практики поле  $\mathbf{u}'(\mathbf{x}, t)$ , обладающее требуемыми свойствами пространственной анизотропии и неоднородности.

В случае изотропного случайного поля вместо полного спектра  $F(\mathbf{k})$  можно использовать энергетический спектр  $E(k)$ , который зависит от волнового числа  $k$  (модуля волнового вектора  $\mathbf{k}$ ) [15]:

$$E(k) = \iiint_{|\mathbf{k}|=k} F(\mathbf{k}) d\mathbf{k}.$$

В качестве  $E(k)$  будем, вслед за [2], использовать безразмерный модифицированный энергетический спектр фон Кармана – Пао

$$E(k) = f_e(k) f_\eta(k) f_{cut}(k). \quad (1)$$

Главная составляющая  $f_e(k)$  определяется как

$$f_e(k) = \frac{(k/k_e)^4}{(1+2.4(k/k_e)^2)^{17/6}}, \quad (2)$$

Сомножитель  $f_\eta(k)$  отвечает за асимптотику  $E(k)$  с приближением к колмогоровскому масштабу:

$$f_\eta(k) = \exp\left[-(12k/k_\eta)^2\right], \quad (3)$$

Функция  $f_{cut}(k)$  служит для подавления спектра вблизи минимально разрешимого на сетке масштаба, отвечающего предельно высокому волновому числу  $k_{cut}$ :

$$f_{cut}(k) = \exp\left(-\left[\frac{4\max(k-0.9k_{cut},0)}{k_{cut}}\right]^3\right). \quad (4)$$

Параметры спектра  $k_e, k_\eta, k_{cut}$  определяются как

$$\begin{aligned} k_e &= 2\pi/l_e, \\ k_\eta &= 2\pi/l_\eta = 2\pi/(\eta^3/\varepsilon)^{1/4}, \\ k_{cut} &= 2\pi/l_{cut}, \quad l_{cut} = 2\min(\max(h_y, h_z, 0.3h_{max}) + 0.1d_w, h_{max}). \end{aligned}$$

Однородное изотропное синтетическое поле турбулентных пульсаций скорости  $\mathbf{v}'(\mathbf{x})$  реализуется в виде суммы гармоник

$$\mathbf{v}'(\mathbf{x}) = \frac{\sigma}{\sqrt{N}} \sum_{n=1}^N \mathbf{v}^n(\mathbf{x}). \quad (5)$$

Здесь  $N$  – количество гармоник (или мод). Гармоники представляются формулой

$$\mathbf{v}^n(\mathbf{x}) = 2\sqrt{\frac{3}{2}}\sqrt{g^n(k^n)}[\boldsymbol{\sigma}^n \cos(k^n(\mathbf{d}^n \cdot \mathbf{x} + \varphi^n))]. \quad (6)$$

Для каждой гармоники определяются:

$k^n$  – модуль волнового вектора (волновое число);

$\mathbf{d}^n$  – направление волнового вектора: вектор, изотропно распределенный по единичной сфере;  $\mathbf{k}^n = k^n \mathbf{d}^n$ ;

$\boldsymbol{\sigma}^n$  – вектор единичной длины, равномерно распределенный по окружности, ортогональный вектору  $\mathbf{d}^n$ ;

$\varphi^n$  – фаза: случайное число, равномерно распределенное в интервале  $[0, 2\pi)$ ;

$g^n$  – нормированная амплитуда  $n$ -й гармоники, которая определяется энергетическим спектром  $E(k)$ .

Подчеркнем [12, 16], что с ростом числа гармоник  $N$  уравнение (5) обеспечивает слабую сходимость распределений случайного поля скоростей к гауссиану, описываемому средними значениями и функцией ковариации.

До этого момента метод почти полностью совпадает с традиционным спектральным методом, описанным в [2, 3]. В отличие от [2, 3], в предлагаемой работе волновые числа  $k = k^n \in [k_{min}, k_{max}]$  генерируются статистически в соответствии с энергетическим спектром  $E(k)$  по следующему правилу. Функция спектральной плотности энергии разлагается в произведение двух положительных функций:

$$E(k) = F(k)G(k). \quad (7)$$

Независимые случайные волновые числа  $k_n$  генерируются с плотностью вероятности, пропорциональной функции  $F(k)$ :

$$p(k) = \frac{F(k)}{\int_0^\infty F(k)dk}.$$

Энергетическая весовая функция

$$g^n(k^n) = \frac{G(k^n)}{\sum_{m=1}^N G(k^m)}.$$

При данной постановке удовлетворяются условия статистической несмещенности и изотропии для компонент вектора  $\mathbf{v}'$ :

$$\langle v'_i \rangle = 0, \quad \langle v'_i v'_j \rangle = \delta_{ij}.$$

Кроме того, обеспечивается бездивергентность поля скоростей и стремление к энергетическому спектру  $E(k)$  при  $N \rightarrow \infty$ .

Задание составляющих энергетической плотности  $F(k)$  и  $G(k)$  допускает различные варианты. Для простых функций  $E(k)$  в [9] рекомендуется генерировать волновые числа пропорционально плотности энергии  $E(k)$ , а амплитуды всех гармоник выбирать одинаковыми, т.е.

$$F(k) = E(k), \quad G(k) = 1. \quad (8)$$

В настоящей работе разложение (7) используется в следующей форме. Пусть волновые числа распределяются по колмогоровскому множителю  $f_\eta(k)$  из выражения (1), и тогда формула (7) дает

$$F(k) = f_\eta(k), \quad G(k) = f_e(k)f_{cut}(k). \quad (9)$$

**Неоднородная турбулентность.** В большинстве прикладных задач – ввиду наличия турбулентных пограничных слоев и по другим причинам – энергетический спектр сильно меняется по пространству. В первую очередь важно, что в разных точках может существенно отличаться волновое число энергонесущих мод  $k_e$ , определяющее максимум функции  $f_e(k)$ .

Будем исходить из того, что для каждой точки пространства метод должен генерировать реализации случайного поля со спектральной плотностью  $E(k, \mathbf{x})$ . При этом варьировать набор волновых чисел  $k_n$  было бы крайне нежелательным, тогда как амплитуды гармоник могут быть переменными. Следовательно, выражение (7) переписется в виде

$$E(k, \mathbf{x}) = F(k)G(k, \mathbf{x}). \quad (10)$$

Таким образом, в пространственно неоднородном случае практически невозможно применить стандартный подход РСМ (8) к генерации волновых чисел, так как энергетический спектр  $E(k, \mathbf{x})$  зависит от пространственных координат  $\mathbf{x}$ .

Для модифицированного РСМ разложение (9) возможно привести к форме (10) в предположении, что в (3) имеет место  $k_\eta = const$  для всей области моделирования. Это вполне реалистично, поскольку диапазон волновых чисел достаточно широк, а распределение по нему довольно близко к равномерному. Тогда  $G(k, \mathbf{x})$  задается как

$$G(k, \mathbf{x}) = f_e(k, \mathbf{x})f_{cut}(k, \mathbf{x}).$$

В самой общей ситуации следует выбирать «эталонную» плотность распределения  $F(k) = f_\eta(k)$  для некоторой характерной точки области, а

затем определять весовую функцию  $G(k, \mathbf{x})$  непосредственно из условия (10).

**Анизотропная турбулентность.** Методика легко адаптируется к общему случаю анизотропного турбулентного течения. Пусть из расчета RANS известно поле тензора Рейнольдсовых напряжений  $\mathbf{R}(\mathbf{x})$ . Синтетическое поле пульсационных скоростей  $\mathbf{u}'(\mathbf{x})$  будет строиться на основе изотропного поля  $\mathbf{v}'(\mathbf{x})$ , полученного по формулам (5)–(6), с помощью разложения тензора Рейнольдсовых напряжений  $\mathbf{R} = \mathbf{A}\mathbf{A}^T$ . Мы выберем разложение Холецкого, по примеру [2, 3]. Итоговое поле имеет вид

$$\mathbf{u}'(\mathbf{x}) = \mathbf{A}(\mathbf{x})\mathbf{v}'(\mathbf{x}).. \quad (11)$$

**Эволюция во времени.** Моделирование изменения турбулентного поля во времени в рамках спектральных методов может осуществляться различными способами [3, 8]. Мы придерживаемся следующего принципа. Стационарное синтетическое поле скоростей  $\mathbf{u}'(\mathbf{x})$ , получаемое по вышеприведенным формулам, используется в качестве начального условия для расчета с помощью детерминированной модели LES. При этом на входной границе зоны LES сгенерированное поле участвует в формировании граничных условий для указанной полной модели. Следовательно, турбулентный поток через границу согласуется с начальными данными, а именно, совпадает с ними на момент времени  $t = 0$ .

В настоящей работе для задания нестационарного поля пульсаций скорости используется простейшая модель переноса волны, или «замороженной турбулентности» Тейлора. Набор гармоник (6) приобретает зависимость от времени в виде

$$\mathbf{v}^n(\mathbf{x}, t) = 2\sqrt{\frac{3}{2}}\sum_{n=1}^N\sqrt{g^n(k^n)}[\boldsymbol{\sigma}^n\cos(k_n(\mathbf{d}^n \cdot \mathbf{x}) + \varphi^n - k_n(\mathbf{d}^n \cdot \mathbf{U})t)], \quad (12)$$

где  $\mathbf{U}$  – скорость фонового потока. Окончательное поле скоростей на границе области  $\mathbf{u}'(\mathbf{x}, t)$  строится по образцу уже известных формул. Более точно, в данной работе применялась разновидность метода переноса из [3].

### Анализ свойств однородных изотропных полей скорости

Анализ разработанной методики в случае однородного турбулентного поля начнем с рассмотрения генерации трехмерной турбулентности в кубе с безразмерной стороной  $2\pi$  на сетке  $32^3$  по аналогии с тем, как это делалось в работах [10, 13].

Пример реализации поля скорости и поверхности уровня соответствующего Q-критерия, показаны на рис. 1. Полученная картина визуально соответствует режиму развитой изотропной турбулентности. Поле скорости демонстрирует наличие разномасштабных структур, что соответствует физической реальности.

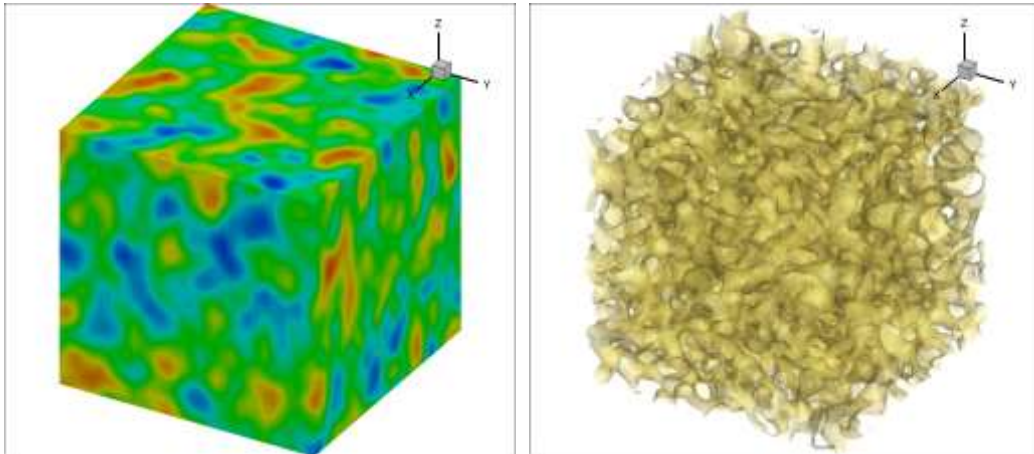


Рис.1. Сгенерированное поле скорости (слева) и Q-критерий (справа)

Для анализа статистических свойств полей, получаемых с помощью предложенного генератора, рассмотрим тензор двухточечных корреляций скоростей, который, в случае однородной изотропной турбулентности, определяется продольной и поперечной корреляционными функциями Кармана-Ховарта [15].

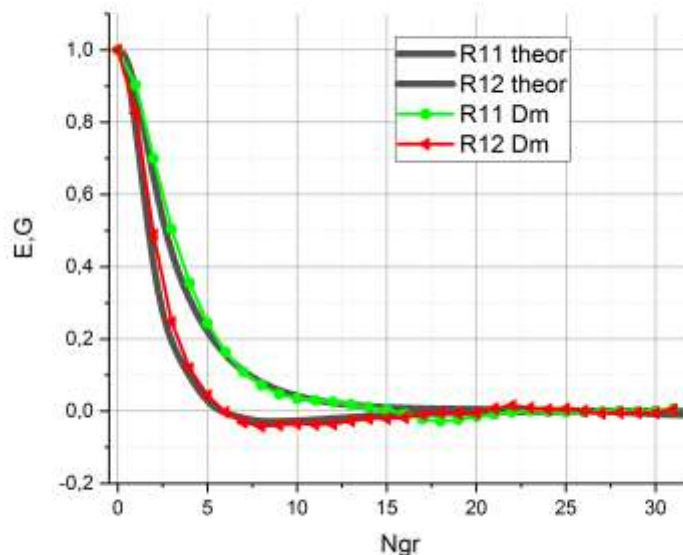


Рис.2. Продольная и поперечная корреляционные функции Кармана-Ховарта

На рис.2 приведены зависимости этих величин от номера узла (расстояния  $r$ ) для 10000 реализаций. Расчетные данные сравниваются с

теоретическими формулами из [15]. Очевидно очень хорошее соответствие полученных результатов имеющейся теории.

Рассмотрим теперь энергетический спектр поля скоростей. Естественно ожидать, что, спектры, полученные по результатам численных реализаций, близки к исходному спектру. На рис.3 изображен энергетический спектр полученной реализации поля на сетке  $32^3$ . Для сравнения приведен исходный спектр Кармана-Пао. Наблюдается довольно хорошее совпадение двух спектров.

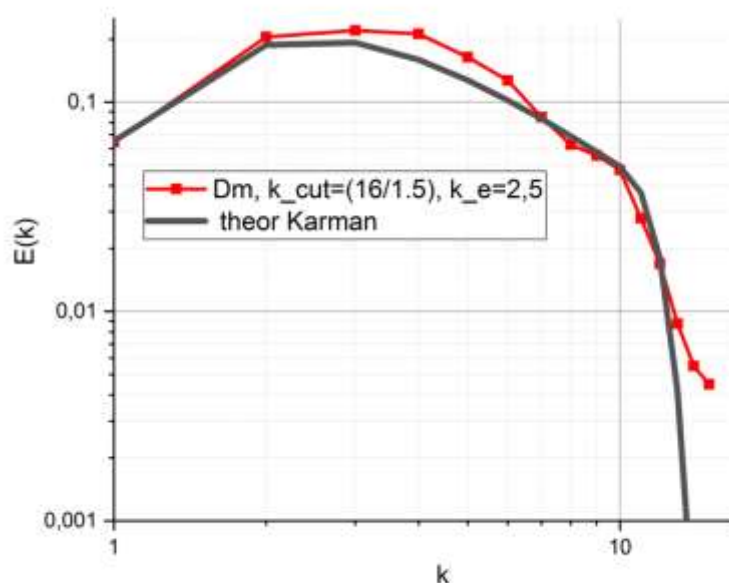


Рис. 3. Энергетический спектр поля, полученного на основе модифицированного РСМ

### Валидация РСМ генератора в случае неоднородного турбулентного поля скорости

Для валидации разработанной методики в случае неоднородного турбулентного поля используется задача о развитом турбулентном течении в бесконечном плоском канале, широко применяемая для отработки различных вихреразрешающих методов для моделирования пристеночных турбулентных течений. В качестве эталонных данных для сравнения используются результаты прямого численного моделирования из [14].

Был проведен расчет течения в канале, с использованием полей, полученных как с помощью данного генератора, так и с помощью детерминированного генератора из [3]. Заметим, что в силу простоты геометрии задачи, использования детерминированного генератора в данном случае вполне достаточно. Целью сравнения являлась валидация рандомизированного генератора в неоднородном турбулентном потоке.



Преимущества стохастической генерации стоит ожидать в задачах со сложной геометрией. В данной работе такой цели не ставилось.

Численное моделирование проводилось с использованием вычислительного алгоритма, реализованного в программном комплексе NOISEtte [17].

### Постановка задачи

Расчетная область представляет собой параллелепипед

$$\{0 < x < 5H\} \times \{0 < y < H\} \times \{-0.75H < z < 0.75H\}.$$

Фоновое течение направлено вдоль оси  $x$ ; стенки канала расположены в плоскостях  $y=0$  и  $y=H$ .

В качестве начальных условий ( $t=0$ ) используется газодинамическое поле, посчитанное на основе метода RANS с моделью замыкания Спаларта-Аллармаса [18]. Турбулентные пульсации при  $t=0$  отсутствуют.

Эволюция течения моделируется на основе уравнений Навье–Стокса для сжимаемого газа с использованием методики IDDES [19] для моделирования турбулентности. Расчет проводился с помощью центрально-разностной схемы EBR4 повышенной точности [4, 20] для аппроксимации конвективных потоков.

Ставятся следующие граничные условия. На стенках канала

$$\mathbf{u} = 0, \quad \frac{\partial \rho}{\partial y} = 0, \quad \frac{\partial p}{\partial y} = 0, \quad y = 0, H.$$

На боковых границах  $z = \pm 0.75H$  задаются периодические условия. На входной границе поддерживаются значения всех газодинамических параметров и турбулентной вязкости, полученные из расчета RANS. К вектору скорости добавляются также сгенерированные турбулентные пульсации:

$$\mathbf{u} = \bar{\mathbf{u}}(0, y, z) + \mathbf{u}'(0, y, z, t), \quad p = \bar{p}(0, y, z), \quad \rho = \bar{\rho}(0, y, z), \\ x = 0.$$

Условия на выходной границе выглядят следующим образом:

$$\frac{\partial \mathbf{u}}{\partial x} = 0, \quad \frac{\partial \rho}{\partial x} = 0, \quad p = p_1(y, z), \quad x = 5H.$$

Величина  $p_1$  подбирается так, чтобы перепад давления  $p_1(y, z) - \bar{p}(0, y, z)$  поддерживал требуемую скорость потока вдоль канала.

Для генератора синтетической турбулентности на входной границе брались компоненты тензора рейнольдсовых напряжений  $\mathbf{R}$ , полученные из расчета методом RANS с моделью замыкания Menter SST [21].

Представленные ниже результаты получены при числе Рейнольдса, определяемом по полуширине канала  $H/2$  и динамической скорости  $u_\tau$  на стенке,  $Re_\tau = 395$ , что соответствует одному из вариантов эталонных данных [14].

### Расчетная сетка

Вычислительная сетка (рис. 4) была построена с учетом требования LES о том, чтобы при заданном числе Рейнольдса разрешались пристеночные турбулентные структуры. Сетка равномерна по  $x$  и  $z$ :  $\Delta x = H/20$ ;  $\Delta z = H/40$ . Сетка по  $y$  сгущается по направлениям к обеим границам по закону геометрической прогрессии с коэффициентом 1.1. Для пристеночной ячейки  $\Delta y = 10^{-3}H$ , что удовлетворяет условию  $\Delta y^+ < 1$ ; максимальный размер  $\Delta y = H/40$ . Число узлов сетки по направлениям  $x$ ,  $y$  и  $z$  составило  $101 \times 71 \times 61$ .

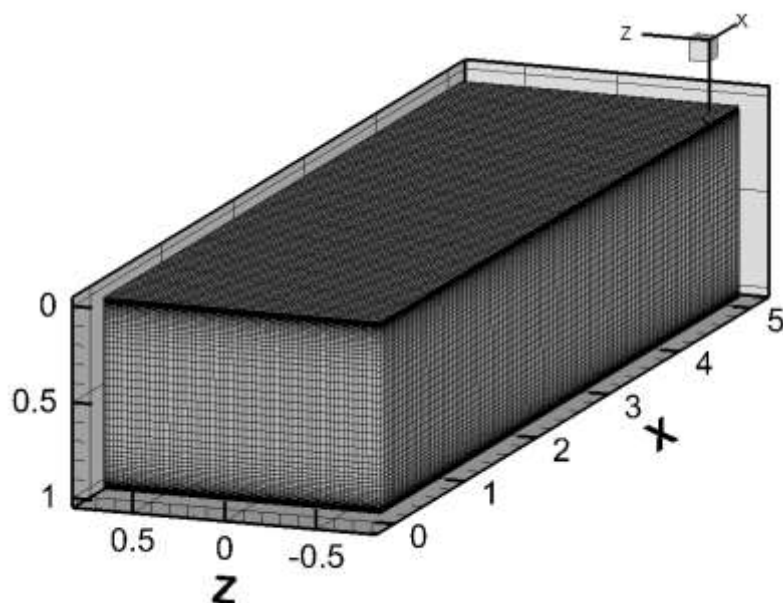


Рис. 4. Расчетная сетка

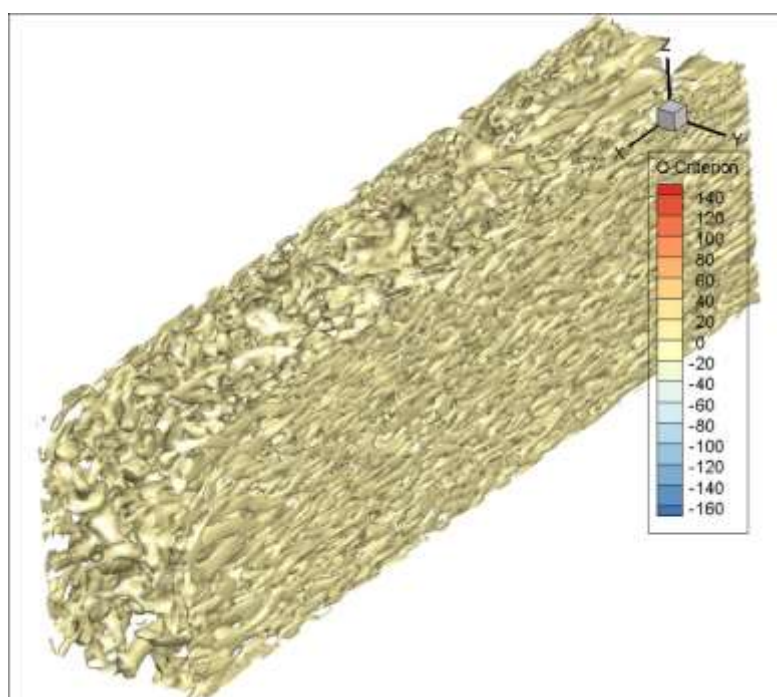


Рис. 5. Q-критерий

## Результаты валидационного расчета

Накопление статистики для построения профилей скорости и Рейнольдсовых напряжений проводится в течение времени  $20H/U_b$  (где  $U_b$  – среднерасходная скорость) после выхода расчета на статистически установившийся режим.

На рисунке 5 приведена изоповерхность Q-критерия. Очевидно наличие развитого турбулентного течения во всей расчетной области.

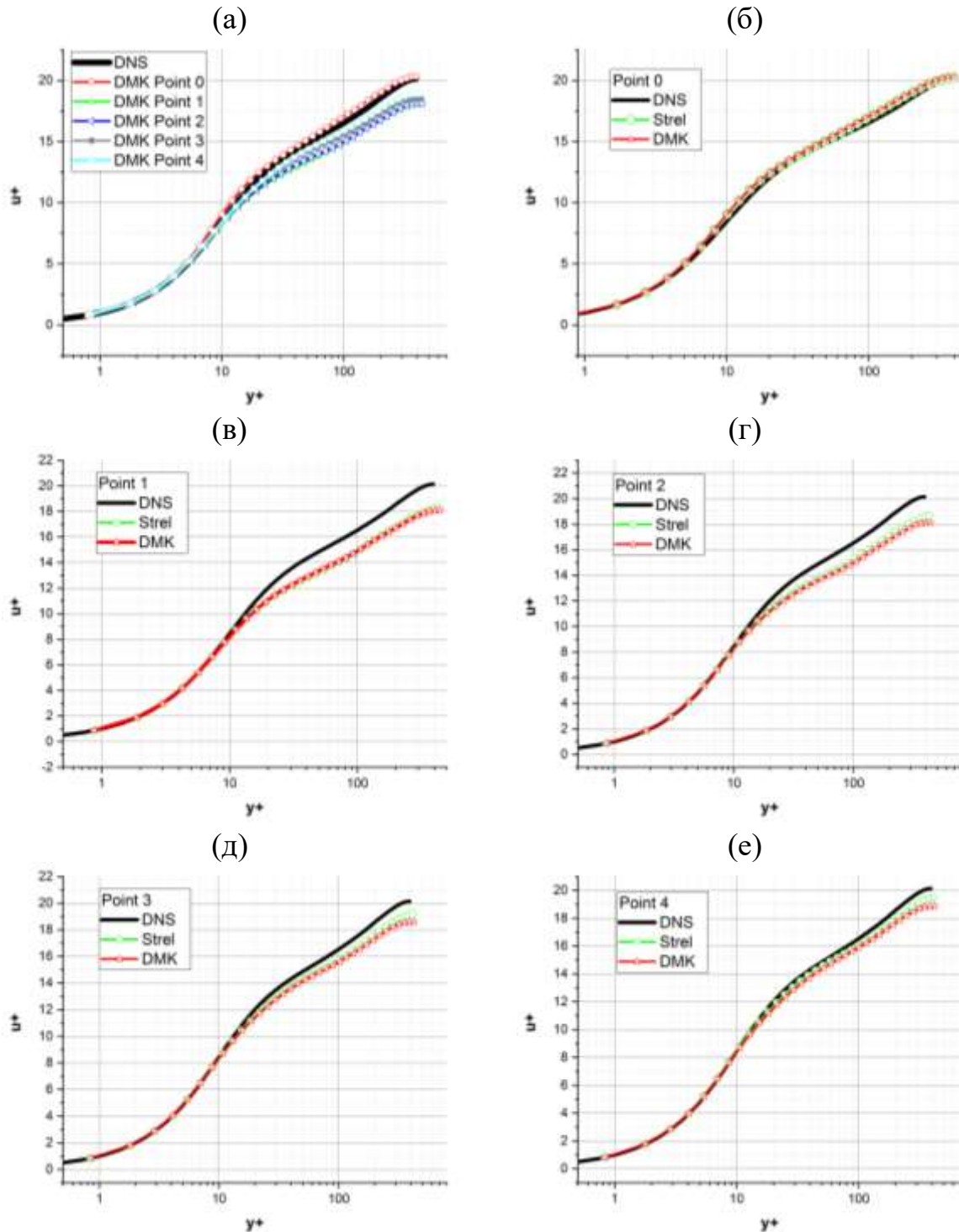


Рис.6. Зависимости скорости  $u^+$  от  $y^+$  в пяти сечениях канала

На рисунке 6(а) приведены полученные зависимости безразмерной скорости  $u^+$  от переменной пограничного слоя  $y^+$  в пяти точках (на расстоянии  $0, H, 2H, 3H$  и  $4H$  от входной границы, соответственно), соответствующих имевшимся данным DNS расчета. Видно, что с удалением от границы скорость стремится к значениям, предсказываемым DNS расчетом. Для сравнения на рисунках 6(б–е) приведены результаты моделирования с использованием предложенного генератора и детерминированного генератора из [3]. Видно, что во всех точках результаты расчетов практически не отличаются от результатов с использованием детерминированного генератора.

На рисунке 7 приведены профили нормальных компонент тензора рейнольдсовых напряжений  $u'^+$  и  $v'^+$ . Видно, что результаты моделирования на основе рандомизированного метода чуть лучше соответствуют эталонным значениям для  $u'^+$ , а результаты моделирования на основе детерминированного метода [3] несколько лучше коррелируют с DNS данными для  $v'^+$ .

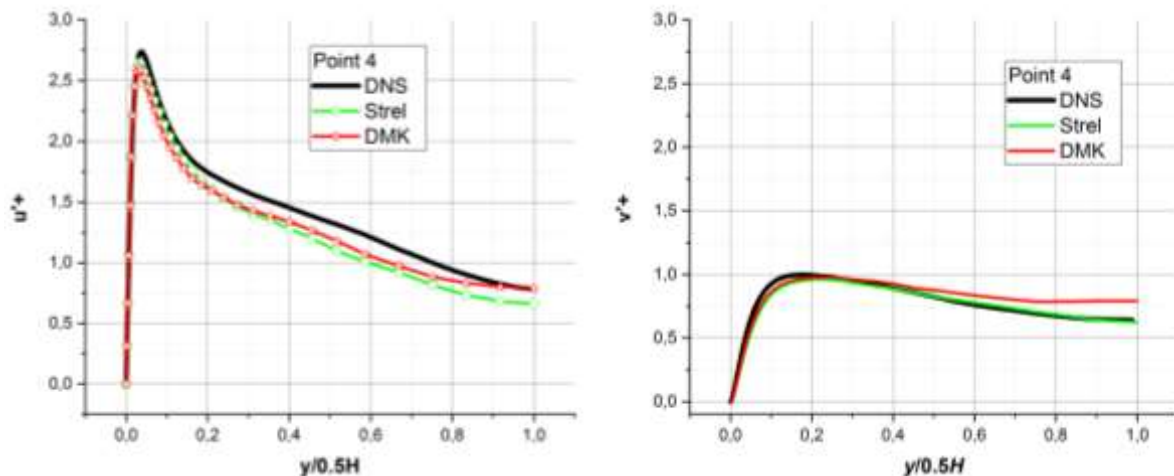


Рис. 7. Зависимости компонент тензора рейнольдсовых напряжений  $u'^+$  и  $v'^+$  от  $y^+$  в сечении  $x=4H$

## Заключение

Полученные результаты показывают, что выполненная модификация рандомизированного генератора турбулентных полей скорости позволяет использовать данную методику также в случае неоднородных полей.

В случае однородной изотропной турбулентности корреляционные и спектральные свойства полей, сгенерированных с помощью модифицированного РСМ, хорошо соответствуют теоретически ожидаемым.

Можно предположить, что в некоторых задачах со сложной геометрией стохастический генератор будет иметь преимущества по

сравнению с детерминированным. Определение класса таких задач и проведение соответствующих расчетов будут целью дальнейшей работы.

### Литература

1. *Kraichnan R.* Diffusion by a random velocity field // *Phys. Fluids*, 1970, v.13, No.1, p.22–31.
2. *Адамьян Д.Ю., Стрелец М.Х., Травин А.К.* Эффективный метод генерации синтетической турбулентности на входных границах LES области в рамках комбинированных RANS-LES подходов к расчету турбулентных течений // *Матем. моделирование*, 2001, т.23, №7, с.3–19.
3. *M.L. Shur, P.R. Spalart, M.K. Strelets, A.K. Travin.* Synthetic turbulence generators for RANS-LES interfaces in zonal simulations of aerodynamic and aeroacoustic problems // *Flow Turbulence Combust.*, 2014, v.93, No.1, pp.63–92.
4. *Duben A., Kozubskaya T.* Evaluation of Quasi-One-Dimensional Unstructured Method for Jet Noise Prediction // *AIAA Journal*, August 2019 doi:10.2514/1.J058162
5. *M. Klein, A. Sadiki, J. Janicka.* A digital filter based generation of inflow data for spatially developing direct numerical for large eddy simulations // *J. Comput. Phys.*, 2003, v.186, No.2, p.652–665.
6. *Д.Ю. Адамьян, А.К. Травин.* Усовершенствованный метод генерации синтетических вихрей для задания нестационарных входных граничных условий при расчете турбулентных течений // *Теплофизика высоких температур*, 2011, т.49, вып.5, с.728–736.
7. *A. Smirnov, S. Shi, I. Celik.* Random flow generation technique for Large Eddy Simulations and Particle-Dynamics Modeling // *J. Fluids Eng.*, 2001, v.123, No.2, p.359-371.
8. *Davidson L.* Inlet boundary conditions for embedded LES // *First CEAS European Air and Space Conf. Berlin*, 2007.
9. *O. Kurbanmuradov, K. Sabelfeld, P.R. Kramer.* Randomized spectral and Fourier-wavelet methods for multidimensional Gaussian random vector fields // *J. Comput. Phys.*, 2013, v.245, p.218–234.
10. *Saad T., Cline D., Stoll R., Sutherland J.C.* Scalable tools for generating synthetic isotropic turbulence with arbitrary spectra // *AIAA J.*, 2016, v.55, No.18, p.327–331.
11. *N.S. Dhamankar, G.A. Blaisdell, A.S. Lyrintzis.* Overview of turbulent inflow boundary conditions for Large-Eddy Simulations // *AIAA J.*, 2018, v.56, No.4, p.1317–1334.
12. *К.К. Сабельфельд.* Методы Монте-Карло в краевых задачах. – Новосибирск: Наука, 1989, 280 с.; англ. пер.: *К.К. Sabelfeld.* Monte Carlo Methods in boundary value problems. Springer, Heidelberg–Berlin–New York, 1991.

13. Александров А.В., Дородницын Л.В., Дубень А.П. Генерация трехмерных однородных изотропных турбулентных полей скорости на основе рандомизированного спектрального метода // Матем. моделирование, 2019, т.31, №10, с.49–62.
14. Moser R., Kim J., Mansour N. Direct numerical simulation of turbulent channel flow up to  $Re\tau = 590$  // Physics of Fluids, 1999, v.11, No.4, p. 943.
15. Монин А.С., Яглом А.М. Статистическая гидромеханика, механика турбулентности. Часть 2. М.: Наука, 1967.
16. O.A. Kurbanmuradov. Weak convergence of randomized spectral models of Gaussian random vector fields. Bull. Nov. Comp. Center, Num. Anal., 19-25, 1993.
17. И.В. Абалакин, П.А. Бахвалов, А.В. Горобец, А.П. Дубень, Т.К. Козубская. Параллельный программный комплекс NOISEtte для крупномасштабных расчетов задач аэродинамики и аэроакустики // Выч. мет. программирование, 2012, т.13, № 3, с.110–125; I.V. Abalakin, P.A. Bakhvalov, A.V. Gorobets, A.P. Duben, T.K. Kozubskaya. Parallel research code NOISEtte for large-scale CFD and CAA simulations // Vychisl. Metody Programm., 2012, v.13, No.3, p.110–125.
18. Spalart P.R., Allmaras S.R. A one-equation turbulence model for aerodynamic flows // AIAA Paper 92-0439. 1992.
19. Shur M.L., Spalart P.R., Strelets M.Kh., Travin A.K. A hybrid RANS-LES approach with delayed-DES and wall-modeled LES capabilities // Int. J. Heat Fluid Flow, 2008, v.29, No.6, p.1638–1649.
20. P.A. Bakhvalov, I.V. Abalakin, T.K. Kozubskaya, Edge-based reconstruction schemes for unstructured tetrahedral meshes // Int. J. Numer. Methods Fluids. 81(6) (2016) 331–356.
21. F.R. Menter. Two-Equation Eddy-Viscosity Turbulence Models for Engineering Applications // AIAA Journal, vol. 32, No. 8, 1994, p. 1598-1605.